

การสวมหมุดคู่ DUAL PEGS INSERTION

ธรรมรัตน์ กิตติพงษ์พัฒนา, ชิต เทล่าวัฒนา
ภาควิชาวิศวกรรมเครื่องกล สถาบันเทคโนโลยีพระจอมเกล้าธนบุรี

1. บทคัดย่อ (Abstract)

ปัญหาที่มักพบในงานประกอบชิ้นส่วนคือ wedging และ jamming wedging หมายถึง ความผิดพลาดในการประกอบอันเนื่องมาจากการเงื่อนไขเริ่มต้นทางเรขาคณิตไม่ถูกต้องส่วน jamming หมายถึงความผิดพลาดในการประกอบเนื่องจากความไม่ได้สัดส่วนของแรงและเมมเบรน บทความนี้กล่าวถึง wedging ของหมุดคู่ในกรณีเกิดการสัมผัสที่ผิวนอกสุดของหมุดแต่ละอันซึ่งเป็นการสัมผัสสองจุด รวมทั้งเสนอแผนภาพ wedging ของหมุดคู่ ของกรณีการวิเคราะห์ปัญหาของหมุดคู่นี้เป็นพื้นฐานหนึ่งที่จะนำไปสู่ การประกอบชิ้นส่วน ที่มีรูปทรงเรขาคณิตค่อนข้างซับซ้อนได้อย่างอัตโนมัติ ซึ่งในทางปฏิบัติเมื่อใช้ความรู้จากการวิจัยนี้รวมกับเทคโนโลยีทางทุ่นยนต์ด้านการเคลื่อนย้าย (Manipulation) ก็สามารถทำให้งานประกอบอัตโนมัติเกิดขึ้นได้อย่างแท้จริง (True Assembly Automation)

The problems frequently found in assembly process are wedging and jamming. Wedging refers to improper geometrical initial conditions. Jamming refers to failure of assembly due to improperly aligned forces. This paper presents a wedging diagram of dual-pegs-holes when these pegs contact their mating holes with outer edges (two point - contact). The analysis of dual-pegs in holes is a fundamental example that leads to the assembly of parts having complicated geometry. Combining this knowledge with robotic manipulation, the true assembly automation can be realized.

2. บทนำ

ในกระบวนการผลิต ผลิตภัณฑ์ชิ้นหนึ่งนั้น โดยเฉลี่ยแล้วต้องผ่านงานประกอบประมาณ 50% เพื่อให้ประสาทภาพการประกอบสูงขึ้น จึงมีการหันมาใช้ระบบการประกอบแบบยืดหยุ่น (Flexible Assembly Systems , FAS) ระบบี้ประกอบด้วย หุ่นยนต์ และ/หรือ เครื่องจักร ประกอบอัตโนมัติ ซึ่งจะมีความคุ้มค่าต่อการลงทุนเมื่อเวลาต้องการที่จะผลิตผลิตภัณฑ์ที่มีรูปแบบเฉพาะในปริมาณไม่เกิน 100,000 หน่วย ในระบบการผลิตแบบนี้เราสามารถเปลี่ยนรูปแบบและวิธีการผลิตตามความเปลี่ยนแปลงของแบบได้่ายและรวดเร็ว อย่างไรก็ตามการที่จะทำให้เกิดการผลิตลักษณะดังกล่าวอย่างสมบูรณ์จริงๆยังเป็นเรื่องที่ทำได้ยาก เพราะการใช้เครื่องจักรในการประกอบอย่างอัตโนมัติที่มีค่า repeatability สูงนั้นต้องมีความเข้าใจอย่างถ่องแท้ในเรื่อง การวิเคราะห์ชิ้นส่วนล้มผัส ตัวอย่างงานประกอบพื้นฐานที่รู้จักกันดี คือการสวมหมุดลงในรู (Peg in hole) งานประกอบนี้มีลักษณะพื้นฐานครอบคลุมงานประกอบชิ้นส่วนจำนวนมาก

การประกอบหมุดให้สำเร็จได้นั้น clearance ของชิ้นส่วนต้องไม่น้อยกว่าความลະเอียด และ/หรือ repeatability ของหุ่นยนต์ และ ตัวจับยึด (jigs) ยิ่งไปกว่านั้นสิ่งที่หลีกเลี่ยงไม่ได้คือ การสึกหรอของเครื่องจักรและความไม่ได้ศูนย์ของชิ้นงาน ขนาดของชิ้นส่วนแบบเดียวกันที่ใช้ในการประกอบอาจมีความแตกต่างกันเนื่องจากขบวนการผลิตชิ้นส่วนนั้นๆไม่เที่ยงตรงขนาดชิ้นส่วนที่เกินไปหรือขาดไปนี้มีส่วนทำให้เกิดแรงสัมผัสที่ส่งผลให้ชิ้นงานเสียหายระหว่างประกอบ

Whitney และ คณะ [1] ได้เสนอวิธีการสำหรับวิเคราะห์การประกอบหมุดกลมลงในรู กลมที่มีการปาดปากโดยสมมติให้ หมุดและรูเป็นวัตถุแข็งแกร่ง และ หมุดได้รับการยึดติดโดยอุ้ยกับโครงสร้างที่มีความอ่อนตัว โครงสร้างนี้เรียกว่า Remote Center of Compliance (RCC) เป็นโครงสร้างซึ่งลดแรงจากการล้มผัส และ จัดปัญหาด้าน wedging และ jamming ในการวิเคราะห์ jamming หมายถึง ความเสียหายในการประกอบอันเกิดจากความไม่ได้สัดส่วนของแรงส่วน wedging หมายถึง ความเสียหายในการประกอบอันเกิดจากเพื่อนทางขวาคณิตของการประกอบไม่ถูกต้อง

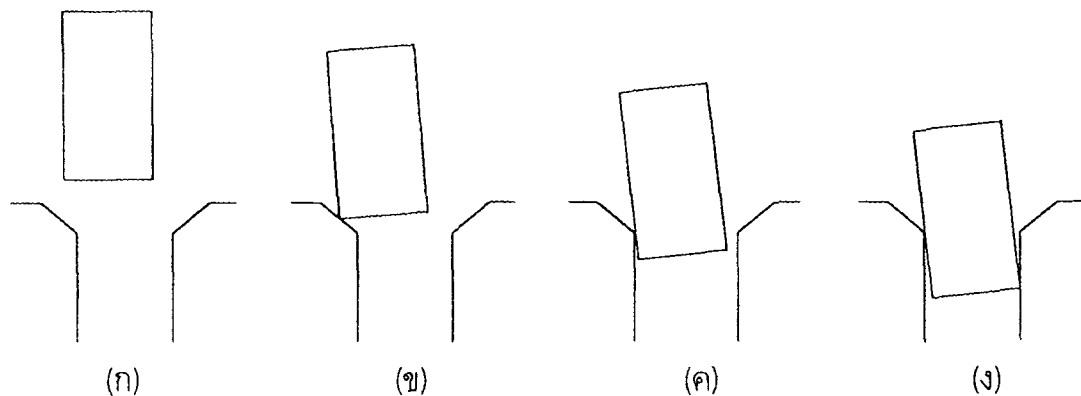
Sturges และ Laowattana[2] ได้พิจารณา wedging ในกรณีสามมิติ และ เสนอแผนภาพ wedging ของหมุดหน้าตัดสี่เหลี่ยมจตุรัส ซึ่งยังเป็นการวิเคราะห์หมุดเดี่ยวอยู่

Asada และ McCarragher [3] ทดลองนำหุ่นยนต์(ระดับความอิสระ 4)ที่ควบคุมโดยอาศัยการป้อนกลับของแรงประกอบหมุดคู่ร่วมทั้งนำวิธีการควบคุมแบบ Petri Net มาช่วยในการควบคุมการเคลื่อนที่ของหุ่นยนต์ในขณะประกอบหมุดคู่ แต่ยังไม่ได้แสดงถึงการวิเคราะห์การสวมหมุดคู่อย่างชัดเจน

การประกอบหมุดให้ได้ผลจำเป็นต้องพิจารณาถึงเงื่อนไขในการเกิด wedging และ jamming ในขบวนการประกอบชิ้นส่วน wedging มักจะเกิดขึ้นบ่อยเมื่อไม่สามารถกำหนดค่า ความคลาดเคลื่อนเริ่มต้นได้ทั้งจากการวัด และ ค่าพิกัดความผิด บทความนิ่งล่าวนี้วิธี วิเคราะห์การประกอบหมุดกลมคู่ในรูกลมคู่โดยอาศัยแนวทางเดียวกับ Whitney และ คณะ พร้อมทั้งเสนอแผนภาพ wedging ของการประกอบหมุดกลมคู่ผลที่ได้จะเป็นพื้นฐาน ในการวิเคราะห์การประกอบหมุดกลมหลายหมุดพร้อมกันในสามมิติ ซึ่งมีความเป็นไปได้ที่จะ พิจารณาหมุดเป็นคู่ เช่นในกรณีของ หมุดสาม ถ้าเราสามารถประกอบหมุดได้สำเร็จหนึ่งคู่หมุด ที่เหลือจะประกอบได้สำเร็จเช่นกัน ตามแนวคิดของ Lee และ Hou [4]

3. การสัมหมุดเดี่ยว

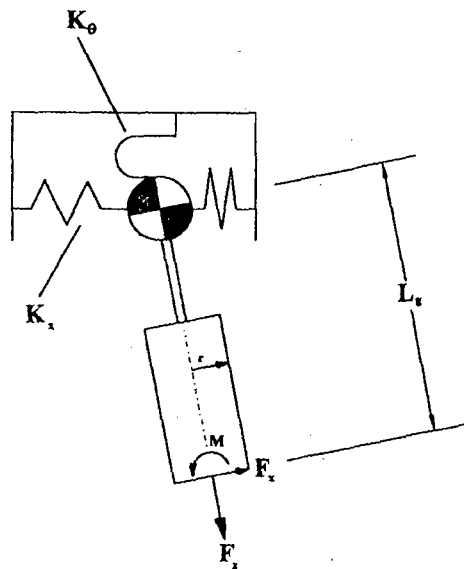
ในหัวข้อนี้เป็นการกล่าวถึง การวิเคราะห์การสัมหมุดเดี่ยว ซึ่งเป็นวิธีการของ Whitney [1]



รูป 3.1 ลำดับการเคลื่อนที่ของหมุดก่อนการสัมผัสและขณะเกิดการสัมผัส

การเคลื่อนที่ของหมุดก่อนการสัมผัสและขณะเกิดการสัมผasm เป็นลำดับดังนี้

- ก. เข้าใกล้ (Approach)
- ข. เคลื่อนผ่านบริเวณปิดปากรู (Chamfer crossing)
- ค. การสัมผัสรูเดี่ยว (One-point contact)
- ง. การสัมผัสร่องจุด (Two-point contact)



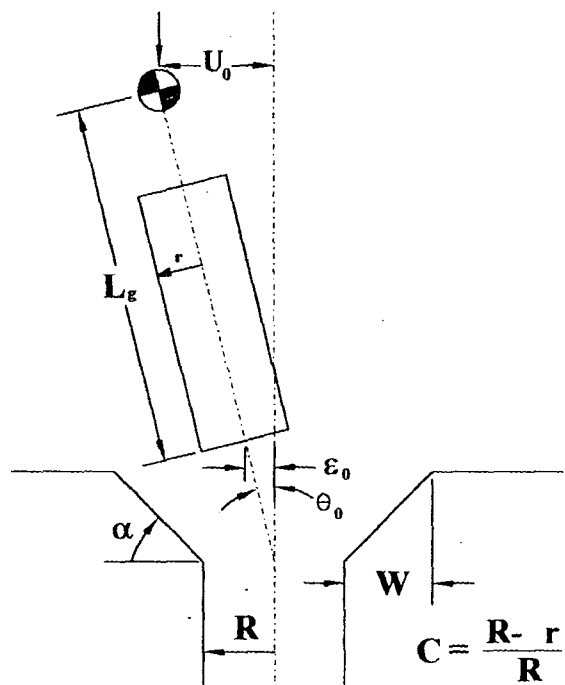
รูป 3.2 แบบจำลองทางคณิตศาสตร์ของการรองรับ荷重[Whitney 1982]

โดยทั่วไป荷重จะมีการเคลื่อนที่ทั้งในแนวเชิงเส้นและเชิงมุมระหว่างเกิดการสัมผัสดังนั้นเพื่อไม่ให้เกิดความเสียหายระหว่างเกิดการสัมผัส การยึดจับต้องมีความอ่อนตัวทั้งในแนวเชิงเส้น และเชิงมุม ให้กับ荷重หรือรู อย่างได้อย่างหนึ่ง โดยอาศัยความสมมาตร ในทางคณิตศาสตร์เราสามารถแทนความอ่อนตัวของการรองรับด้วย จุดศูนย์กลางความอ่อนตัว(วงกลมสีดำลับขาว ดังรูป 3.2.) ค่าคงที่สปริงเชิงเส้น (K_x) และ ค่าคงที่สปริงเชิงมุม (K_e) เมทริกซ์ความอ่อนตัวของการรองรับจะอยู่ในรูปแนวเสียงมุม ในกรณีที่แกนอ้างอิงของส่วนรองรับมีจุดกำเนิดอยู่ที่จุดศูนย์กลางความอ่อนตัวพอดี

$$\text{เมตริกซ์ความอ่อนตัวของการรองรับ} = \begin{pmatrix} K_x & 0 \\ 0 & K_e \end{pmatrix}$$

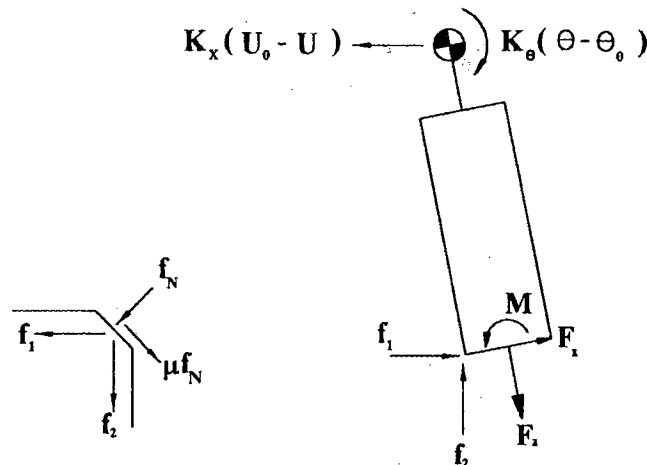
Simunovic ได้กำหนดให้แรง และ โมเมนต์ซึ่งเกิดจากส่วนรองรับอยู่ในรูปของตัวแปร F_x , F_z และ M โดยอ้างอิงกับพิกัดปลาย荷重วิธีการของ Simunovic เป็นวิธีการที่ใช้ได้ผลอย่างมาก ในการวิเคราะห์การสัมผัสรักษาของชิ้นงาน

เรขาคณิตของชิ้นส่วนล้มผัสด (GEOMETRY OF PART MATING)



รูป 3.3 พารามิเตอร์สำหรับหมุดและรู

ϵ_0	=	ความคลาดเคลื่อนเชิงเส้นเริ่มต้น
θ_0	=	ความคลาดเคลื่อนเชิงมุมเริ่มต้น
W	=	ความกว้างของบริเวณปาดปาก្យ (chamfer width)
α	=	มุมของบริเวณปาดปาก្យ (chamfer angle)
U_0	=	การขัดเริ่มต้นของจุดศูนย์กลางความอ่อนตัว
L_g	=	ระยะจากจุดศูนย์กลางความอ่อนตัวถึงปลายหมุด
r	=	รัศมีของหมุด
R	=	รัศมีของรู
C	=	อัตราส่วนความหลام (clearance ratio)



รูป 3.5 แรงที่เกิดขึ้นเมื่อหดล้มผัสด Chamfer

$$c = (R-r)/R \quad (3.4)$$

$$f_1 = f_N B \quad (3.5)$$

$$f_2 = f_N A \quad (3.6)$$

$$A = \cos\alpha + \mu \sin\alpha \quad (3.7)$$

$$B = \sin\alpha - \mu \cos\alpha \quad (3.8)$$

สมการของแรงที่จุดล้มผัส

$$F_z = -f_1 \quad (3.9)$$

$$F_x = f_2 \quad (3.10)$$

$$M = f_2 r \quad (3.11)$$

สมการของแรงที่จุดรองรับ

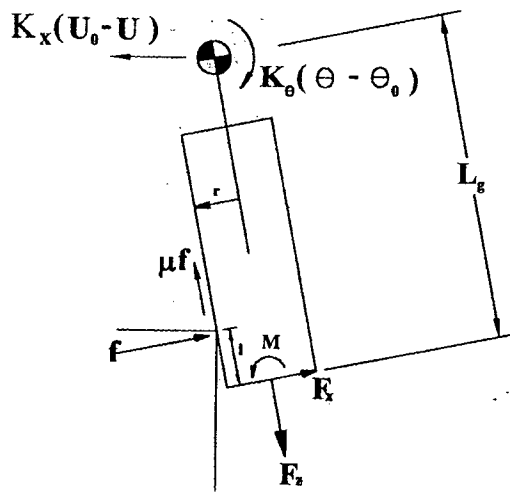
$$F_x = -K_x(U_0 - U) \quad (3.12)$$

$$M = K_x L_g (U_0 - U) - K_\theta (\theta - \theta_0) \quad (3.13)$$

รวมสมการ (3.1)-(3.13) เข้าด้วยกันได้สมการของมุมเอียง และ การคำนวณจุดศูนย์กลาง
ความอ่อนตัวสำหรับหดล้มผัสเคลื่อนที่ผ่าน Chamfer

$$\theta = \theta_0 + \frac{K_x(z / \tan\alpha)(L_g B - r A)}{(K_x L_g^2 + K_\theta)B - K_x L_g r A} \quad (3.14)$$

$$U = U_0 + \frac{K_\theta(z / \tan\alpha)B}{(K_x L_g^2 + K_\theta)B - K_x L_g r A} \quad (3.15)$$

การสัมผัสหนึ่งจุด [1]

รูป 3.6 แรงที่เกิดขึ้นเมื่อหมุดเกิดการสัมผัส หนึ่งจุด
สมการสำหรับการคำนวณความอ่อนตัวเมื่อหมุดสัมผัสหนึ่งจุดคือ

$$U = cR + L_g\theta - l\theta \quad (3.16)$$

โดยอาศัยวิธีการเดียวกันกับขณะหมุดผ่าน chamfer

$$\theta = \frac{C(\varepsilon'_0 + L_g\theta_0) + K_\theta\theta_0}{C(L_g - l) + K_\theta} \quad (3.17)$$

$$C = K_x(L_g - l - \mu r) \quad (3.18)$$

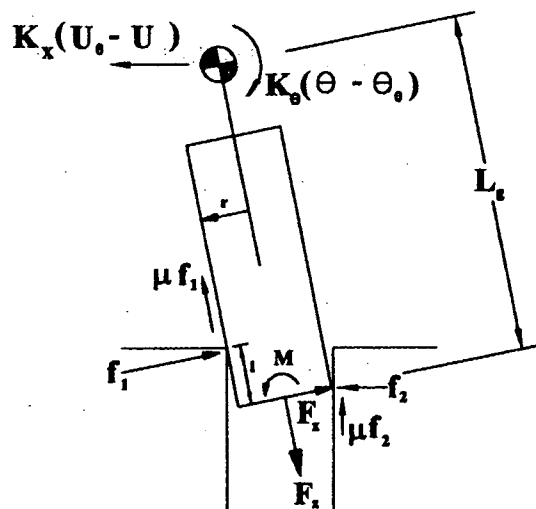
และ

$$U = U_0 - \frac{K_\theta(\varepsilon'_0 + l\theta_0)}{C(L_g - l) + K_\theta} \quad (3.19)$$

สมการมุ่งเอียงของหมุดขณะเกิดการสัมผัสหนึ่งจุด

$$\theta_1 = \theta_0 + \frac{K_x(L_g - \mu r)\varepsilon'_0}{K_x L_g (L_g - \mu r) + K_\theta} \quad (3.20)$$

การสัมผัสสองจุด [1]



รูป 3.6 แรงที่เกิดขึ้นเมื่อหมุดเกิดการสัมผัส ส่องจุด

สมการทางเรขาคณิตของหมุดเกิดการสัมผัสสองจุด

$$R = (1/2)\tan\theta + r \cos\theta \quad (3.21)$$

คิดว่า θ มีค่าน้อย

$$l\theta = 2cR = cD, \text{ constant} \quad (3.22)$$

เมื่อมีการสัมผัสหนึ่งจุดสมการของการซัดคือ

$$U_0 - U = \epsilon'_0 + L_g(\theta_0 - \theta) + l\theta \quad (3.23)$$

แทนสมการ (3.22) ลงในสมการ (3.23) ได้

$$U_0 - U_2 = \epsilon''_0 + L_g(\theta_0 - \theta) \quad (3.24)$$

$$\epsilon''_0 = \epsilon_0 + cR$$

โดยใช้สมการ (3.24) ร่วมกับการวิเคราะห์แรงเหวี่อนในลักษณะก่อนหน้านี้ สมการสำหรับมุมเอียง

คือ

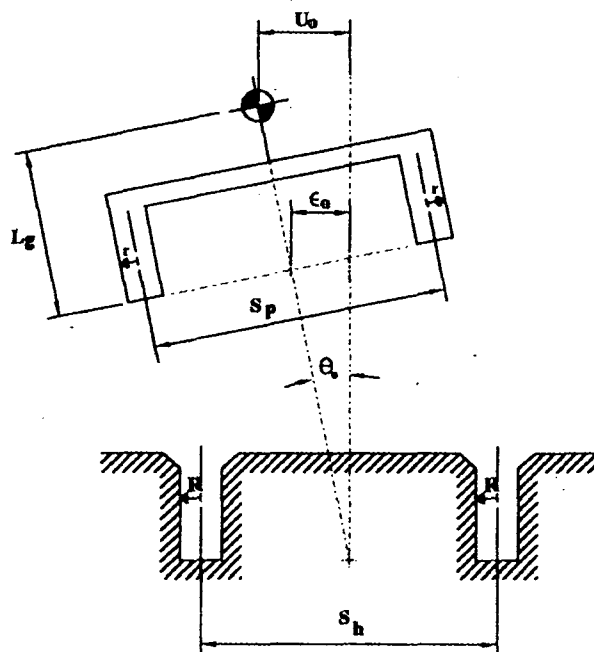
$$\theta_2 = \theta_0 + \frac{K_x \epsilon''_0 (L_g - l_2 - \mu r)}{K_x L_g^2 + K_\theta - K_x L_g (l_2 + \mu r)} \quad (3.25)$$

สมการในรูปการซัดคือ

$$U_2 = U_0 + \frac{K_x \epsilon''_0}{K_x L_g^2 + K_\theta - K_x L_g (l_2 + \mu r)} \quad (3.26)$$

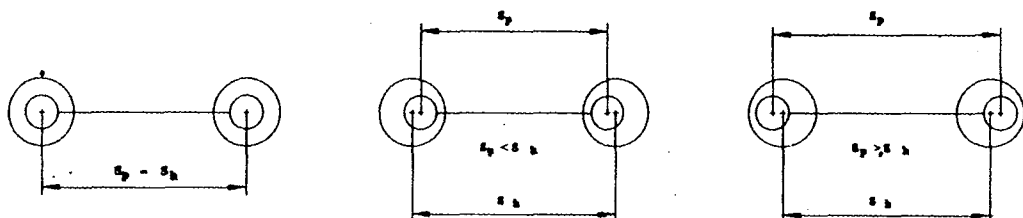
4. พิสิเกษของการสัมหมุดคู่

การวิเคราะห์หมุดคู่อาศัยหลักการเป็นต้นในการวิเคราะห์เช่นเดียวกับหมุดเดี่ยว โดยสมมติให้แกนอ้างอิงอยู่ระหว่างปลายหมุดทั้งสอง และ มีพารามิเตอร์ เพิ่มขึ้นมาคือ ระยะระหว่างศูนย์กลางของหมุดทั้งสอง แทนด้วยตัวแปร S_p และ ระยะระหว่างศูนย์กลางของรูทั้งสองแทนด้วยตัวแปร S_h



รูป 4.1 พารามิเตอร์สำหรับหมุดคู่

การเกิด clearance ของหมุดคู่เกิดได้ 3 กรณี คือ $S_p = S_h$, $S_p < S_h$ และ $S_p > S_h$ โดยทั่วไป S_p มีค่าไม่เกิน $S_h + 2cR$ และ ไม่ต่ำกว่า $S_h - 2cR$ สำหรับทบทวนนี้จะพิจารณาเฉพาะกรณี $S_p > S_h$ ส่วนกรณีอื่นจะพิจารณาในโอกาสต่อไป (ดูในหัวข้อที่ 7)



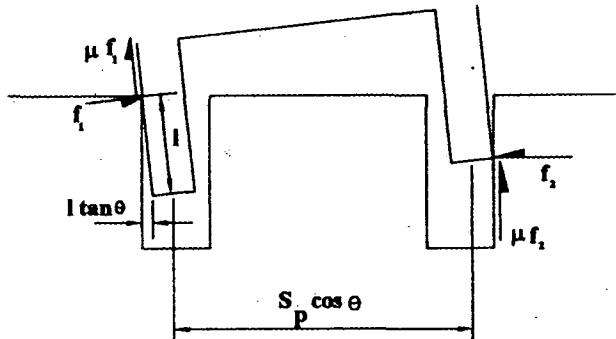
รูป 4.2 กรณีที่เป็นไปได้ของ S_p และ S_h

ในการนี้ $S_p > S_h$ การสัมผัสสองจุดเกิดขึ้นบริเวณขอบอกสุดของหมุดทำให้การวิเคราะห์คล้ายกับกรณีของหมุดเดี่ยวกำหนดให้ D_p มีค่าเท่ากับครึ่งหนึ่งของผลต่างระหว่าง S_p กับ S_h นั่นคือ

$$D_p = \frac{S_p - S_h}{2}$$

เมื่อหมุดคู่เกิดการสัมผัสทั้งสองจุดความสามารถสร้างความสัมพันธ์ระหว่างค่าการชัดของจุดศูนย์กลางความอ่อนตัว $U_0 - U$, ค่าความผิดเพลากลีบเริ่มต้น (ϵ_0, θ_0), ระยะทางระหว่างปลายหมุดถึงจุดศูนย์กลางความอ่อนตัว L_g , ระยะทางระหว่างปลายหมุดถึงจุดสัมผัส 1, มุมเอียงของหมุด θ , clearance ratio cR และ D_p ได้คือ

$$U_0 - U = \epsilon_0 + L_g \theta_0 - (cR + L_g \theta - l\theta + D_p) \quad (4.1)$$



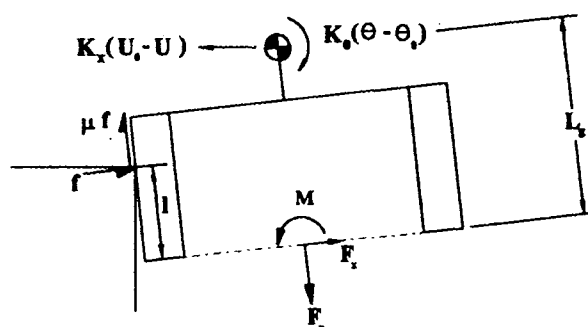
รูป 4.3 แสดงการหาสมการเรขาคณิตในการนีเกิดการสัมผัส สองจุด

$$S_h + D = l \tan \theta + 2r \cos \theta + S_p \cos \theta \quad (4.2)$$

$$l\theta = S_h - S_p + D - d \quad (4.3)$$

$$l\theta = S_h - S_p + 2cR \quad (4.4)$$

การสัมผัสหนึ่งจุด



รูป 4.4 การวิเคราะห์แรงในการนีสัมผัสหนึ่งจุดของหมุดคู่

144

สมดุลของแรงและโมเมนต์ เมื่อหมุดมีการสัมผัสเพียงจุดเดียว ตามวิธีการของ Simunovic เป็นไปตามสมการ (ดูรูป 4.4)

$$F_z = \mu f \quad (4.5)$$

$$F_x = -f \quad (4.6)$$

$$M = -F_x(1 + \mu(\frac{S_p}{2} + r)) \quad (4.7)$$

โมเมนต์ของแรงรองรับ = โมเมนต์ของแรงสัมผัส

$$\text{ให้ } N_p = \frac{S_p}{2} + r \quad (4.8)$$

$$K_x L_g (U_0 - U) - K_\theta (\theta - \theta_0) = K_x (U_0 - U)[1 + \mu(N_p)] \quad (4.9)$$

$$K_x (U_0 - U)[L_g - 1 - \mu N_p] = K_\theta (\theta - \theta_0) \quad (4.10)$$

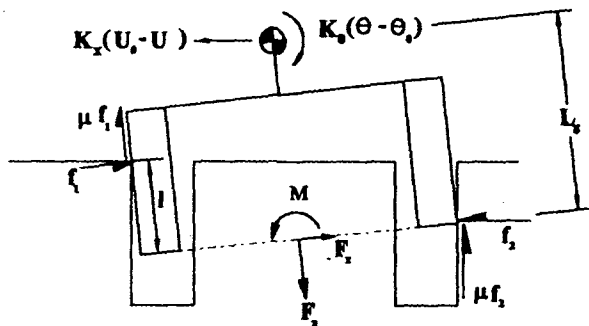
แทนสมการ 4.4 ลงในสมการ 4.1(การสัมผัสสองจุด)

$$U_0 - U = \varepsilon_0' + L_g(\theta_0 - \theta) - D_p \quad (4.11)$$

แทนสมการ 4.11 ลงในสมการ 4.3

$$K_x (\varepsilon_0' + L_g(\theta_0 - \theta) - D_p) [L_g - (1 + \mu N_p)] = K_\theta (\theta - \theta_0) \quad (4.12)$$

จัดรูปสมการจะได้สมการที่อยู่ในรูป θ , θ_0 และ ตัวแปรที่เกี่ยวข้องเมื่อกีด การสัมผัสสองจุด



รูป 4.5 การวิเคราะห์แรงในการณ์สัมผัสสองจุดของหมุดคู่

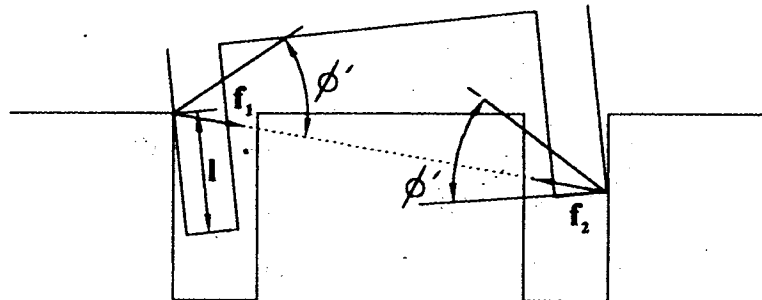
$$\theta = \theta_0 + \frac{K_x(\varepsilon_0 - D_p)(L_g - (1 + \mu N_p) + cR)}{K_\theta + K_x L_g^2 - K_x L_g(1 + \mu N_p)} \quad (4.13)$$

$$\text{แต่ } cR = \frac{1\theta}{2} - \frac{S_p - S_h}{2} \quad \text{เมื่อคิดว่า } 1, r \text{ มีค่าน้อย และ } S_p = S_h$$

$$\theta = \theta_0 + \frac{K_x \varepsilon_0 (L_g - \mu \frac{S_p}{2})}{K_\theta + K_x L_g^2 - K_x L_g (\mu \frac{S_p}{2})} \quad (4.14)$$

$$\theta = \theta_0 + S \varepsilon_0 \quad (4.15)$$

$$S = \frac{K_x(L_s - \mu \frac{S_p}{2})}{K_\theta + K_x L_s^2 - K_x L_s (\mu \frac{S_p}{2})}$$



รูป 4.5 รูปเรขาคณิตแสดงทิศทางของแรงในกรณีความเสียดทานสถิตเมื่อเกิด wedging

พิจารณาภูมิเรขาคณิตของรูป 4.5

ϕ' มุมของกรณีความเสียดทานสถิต

l_w ความลึกในการสูบพื้นที่พอดีเกิด wedging

$$\tan \phi' = \mu = \frac{w}{p + d} \quad (4.16)$$

$$l_w = \mu(S_p + d) \quad (4.17)$$

จากสมการ 4.3

$$l\theta = S_h - S_p + D - d \quad (4.3)$$

$$\text{หรือ } l = \frac{S_h - S_p + D - d}{\theta} \quad (4.18)$$

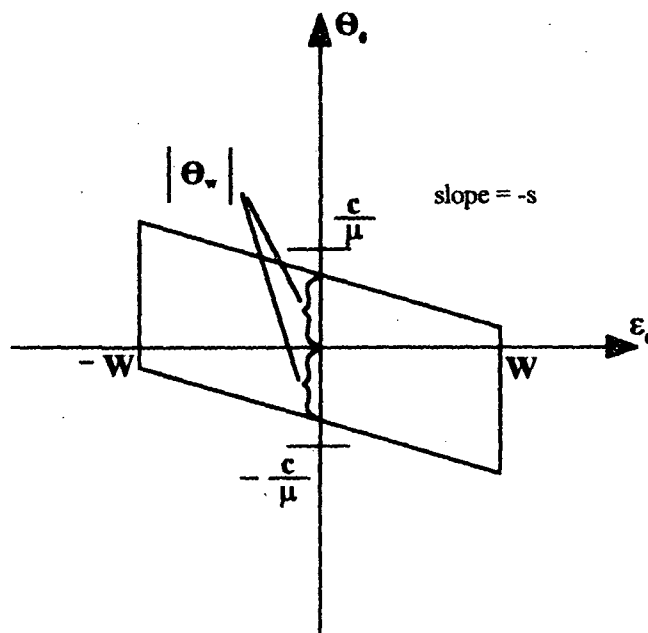
แทนสมการ 4.21 ลงในสมการ 4.20

$$l_w = \frac{S_h - S_p + D - d}{\theta_w} = \mu(S_p + d) \quad (4.19)$$

มุมที่เริ่มเกิด wedging สำหรับ dual pegs (θ_w)

$$\theta_w = \frac{S_h - S_p + D - d}{\mu(S_p + d)} \quad (4.20)$$

เราสามารถสร้างแผนภาพ wedging จากสมการ (4.15) ได้ เนื่องจากเป็นสมการเส้นตรง โดยให้ตัวแปร θ_0 เป็นพิกัดตั้ง ตัวแปร ε_0 เป็นพิกัดนอน และตัดแกนตั้งที่ระยะ θ_w ความยาวของเส้นตรงถูกจำกัดอยู่ที่ระยะความกว้างของ chamfer W



รูป 4.6 แผนภาพ wedging ในการถีบหินหุ่นยนต์

5. การพิสูจน์

การพิสูจน์แผนภาพ wedging สามารถทดลอง โดยนำหินหุ่นยนต์ไปยึดติดกับปลายแท่นหุ่นยนต์ ซึ่งมี อุปกรณ์วัดแรง (force sensor) ติดอยู่ (อุปกรณ์วัดแรงจะช่วยทำให้หุ่นยนต์ไม่เลี้ยวหาย เมื่อเกิด wedging) แล้วทดลองสมมุติ ขณะที่หินหุ่นยนต์เริ่มสัมผัสกับบูร์ได้ dial gage วัดค่า ความผิดพลาดเริ่มต้นเชิงเส้น ϵ_0 ความผิดพลาดเริ่มต้นมุม θ_0 จากนั้นนำไปเทียบกับค่าใน แผนภาพ wedging ในขณะนี้อยู่ในระหว่างจัดหากุ่นยนต์ และวางแผนการทดลอง

6. อภิปราย

ในการนี้ที่เราจะทำการเปรียบเทียบพื้นที่ของแผนภาพ wedging ระหว่าง หินหุ่นยนต์และหินเดี่ยว เรา假定ให้ S_p มีค่าเท่ากับ S_h ทำให้ประมาณค่า θ_w ได้ง่ายขึ้น นั่นคือ

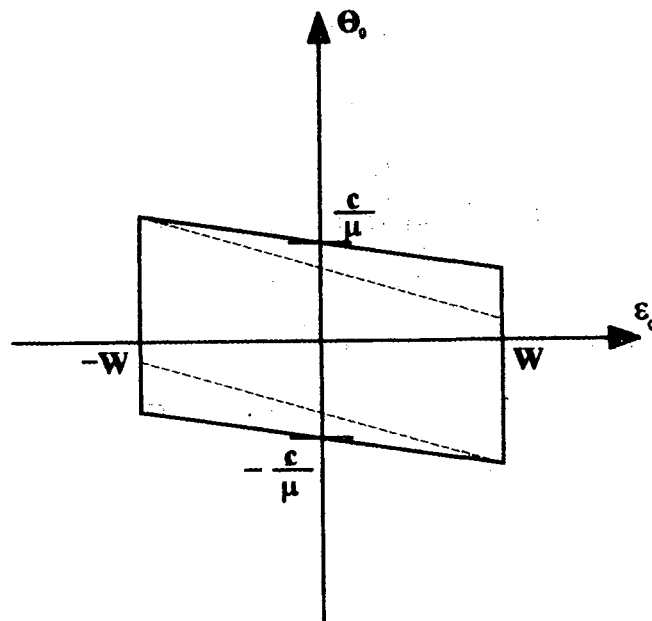
$$\theta_w = \frac{D - d}{\mu(S_p + d)} \quad (6.1)$$

แต่ $D - d = 2cR$ ดังนั้นเราสามารถเขียนสมการ 6.2 ใหม่ได้เป็น

$$\theta_w = \frac{2R}{S_p + d} \left(\frac{c}{\mu} \right) \quad \text{หรือ}$$

$$\theta_w = \frac{D}{S_p + d} \left(\frac{c}{\mu} \right) \quad (6.2)$$

S_p มีค่ามากกว่าคูณย์เสมอ ดังนั้น อัตราส่วน $\frac{D}{S_p + d}$ ในกรณีที่ clearance มีค่าน้อย จะมีค่ามากกว่าคูณย์และน้อยกว่าหรือเท่ากับหนึ่ง



รูป 4.7 แสดงถึงพื้นที่ของแผนภาพ wedging ที่แคบกว่าในกรณีของหมุดคู่ (เลี้นปะ)

7. สรุป

ความสามารถสร้างแผนภาพ wedging ของ หมุดกลมคู่ ได้โดยอาศัยทฤษฎีที่มีอยู่เดิมของ หมุดกลมเดี่ยว (Whitney [1]) แผนภาพ wedging ของ หมุดกลมคู่ มีพื้นที่น้อยกว่าของหมุด กลมเดี่ยว นั่นหมายถึงสมวัดยากกว่า แต่การวิเคราะห์หมุดคู่ในบทความนัยยังไม่ได้เคราะห์ ครอบคลุมถึงกรณี ระยะห่างระหว่างคูณย์กลางของหมุดและรูเท่ากัน ($S_p = S_h$) และ ระยะห่าง ระหว่างคูณย์กลางของหมุดน้อยกว่าของรู ($S_p < S_h$) ในกรณี $S_p = S_h$ จะเกิดการสัมผัส 3 จุด หรือ 4 จุด ส่วนในกรณี $S_p < S_h$ จะเกิดการสัมผัส 2 จุด ที่ขอบในสุดของหมุดแต่ละอัน นอก จากนี้การวิเคราะห์หมุดคู่ ยังเป็นพื้นฐานในการวิเคราะห์การรวมหมุดที่มากกว่าหนึ่งคู่ต่อไป

8. เอกสารอ้างอิง

1. Whitney, D. E., " Quasi-Static Assembly of Compliantly Supported Rigid Parts ", *IEEE International Conference on Robotics and Automation, May 1993*, pp 65-77
2. Sturges, R. H. and Loawattana, S., 1992, " Virtual Wedging in Three-Dimensional Peg Insertion Tasks ", *Proceedings of The JAPAN/USA Symposium on Flexible Automation, Vol. 2*, pp 1551-1555
3. McCarragher ,B. J. and Asada H.,1993, " A Discrete Event Approach to The Control Robotic Assembly Tasks ", *IEEE International Conference on Robotics and Automation,Vol. 1*, pp 331-336
4. Lee ,C. S. G. and Hou ,E. S. H., 1988, "Automatic Generation and Synthesis of C-Frames for Mechanical Parts in an Insertion Task ", *IEEE Journal of Robotics and Automation, Vol. 4*, pp 287-293